



FAG

23226-E1A-XL-K-M-C2

Rodamiento oscilante de rodillos

Rodamientos oscilantes de rodillos 232...-E1A-K, medidas principales según DIN 635-2, con agujero cónico, conicidad 1:12

X-life

Información técnica

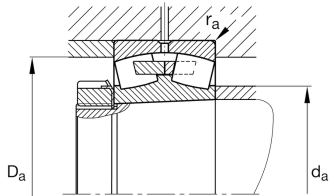


Variante de su producto actual

Ejecución	E1A	Sin borde central
Tipo de agujero	K	Cónico, conicidad 1:12
Jaula	M	Jaula de latón
Juego radial del rodamiento	C2 (Group 2)	Internal clearance smaller than CN
Función de relubricación	Norma	Estándar

Medidas principales y datos de rendimiento

d	130 mm	Diámetro del agujero
D	230 mm	Diámetro exterior
B	80 mm	Anchura
C _r	910.000 N	Capacidad de carga dinámica, radial
C _{0r}	1.150.000 N	Capacidad de carga estática, radial
C _{ur}	91.000 N	Límite de carga por fatiga, radial
n _G	2.850 1/min	Velocidad límite de rotación
n _{gr}	1.740 1/min	Velocidad de referencia
m	13,559 kg	Peso





Medidas de montaje

$d_{a \min}$	144 mm	Diámetro mínimo resalte del eje
$D_{a \max}$	216 mm	Diámetro máximo del resalte del alojamiento
$r_{a \max}$	2,5 mm	Radio máximo de la ranura
$d_{a \max}$	152 mm	Diámetro máximo del resalte del eje
$d_{b \min}$	142 mm	Diámetro mínimo de la cavidad del casquillo
$B_{a \min}$	21 mm	Anchura mínima de la cavidad del casquillo

Medidas

r_{\min}	3 mm	Medidas mínimas del chaflán
D_1	199,3 mm	Diámetro del agujero del anillo exterior
d_s	4,8 mm	Diámetro del agujero de engrase
n_s	9,5 mm	Anchura de la ranura de lubricación

Rango de temperatura

T_{\min}	-30 °C	Temperatura mín. de funcionamiento
T_{\max}	200 °C	Temperatura máx. de funcionamiento

Factores de cálculo

e	0,33	Valor límite de F_a/F_r para la aplicabilidad de dif. Valores de los factores X e Y
Y_1	2,07	Factor de carga axial dinámica
Y_2	3,09	Factor de carga axial dinámica
Y_0	2,03	Factor de carga axial estática

Información adicional

H2326	Manguito de fijación
AHX3226G	Manguito de desmontaje



Características

-  Carga radial
-  Carga axial en un sentido
-  Carga axial en ambos sentidos
-  Lubricación con grasa
-  Lubricación con aceite
-  No obturado
-  Errores de alineación estáticos
-  Errores de alineación dinámicos